

تاریخ دریافت: ۱۳۸۹/۰۴/۲۱

تاریخ پذیرش: ۱۳۹۰/۰۳/۱۰

ص ۳۹۳-۴۰۶

## بررسی تغییرات مکانی بدختی شاخص‌های فرسایندگی باران

### با استفاده از زمین‌آمار در استان خوزستان

- ❖ حسین اسلامی\*: دانش‌آموخته دانشگاه آزاد اسلامی، واحد علوم و تحقیقات، گروه آبخیزداری، تهران، ایران
- ❖ علی سلاجقه؛ استاد دانشکده منابع طبیعی، دانشگاه تهران
- ❖ شهرام خلیقی سیگارودی؛ دانشیار دانشکده منابع طبیعی، دانشگاه تهران
- ❖ حسن احمدی؛ استاد دانشگاه آزاد اسلامی، واحد علوم و تحقیقات، گروه آبخیزداری، تهران، ایران
- ❖ شمس‌الله ایوبی؛ دانشیار گروه خاک‌شناسی، دانشکده کشاورزی، دانشگاه صنعتی اصفهان

### چکیده

فرسایندگی باران توانایی باران برای جداسازی ذرات خاک است. هدف از این تحقیق تهیه نقشه فرسایندگی باران در استان خوزستان با استفاده از بهترین شاخص فرسایندگی باران است. بدین منظور، اطلاعات نقطه‌ای شاخص‌های  $EI_{30}$ ,  $AI_m$ , هادسون، و اونچو در ۷۴ ایستگاه باران‌نگاری و باران‌سنگی با استفاده از روش‌های میان‌یابی قطعی عکس فاصله وزن‌دار و توابع شعاعی پایه و روش‌های زمین‌آماری کوکریجینگ و کوکریجینگ به اطلاعات ناحیه‌ای تبدیل شد. نتایج نشان‌دهنده آن است که روش کوکریجینگ دارای کمترین خطأ و بیشترین همبستگی در میان‌یابی شاخص‌های  $EI_{30}$ ,  $AI_m$ , هادسون، و اونچو با ضرایب تبیین  $0.89$ ,  $0.89$ ,  $0.48$ ,  $0.49$  است. بر اساس ضریب همبستگی بین متوسط شاخص‌های  $EI_{30}$ ,  $AI_m$ , هادسون، و اونچو در حوضه‌های بالادست ایستگاه‌های رسوب‌سنگی با میزان رسوب‌دهی و بیژه این حوضه‌ها، شاخص  $EI_{30}$  با ضریب همبستگی  $0.98$  بهترین شاخص فرسایندگی باران انتخاب شد. بر اساس نقشه تهیه شده با استفاده از شاخص  $EI_{30}$  با روش میان‌یابی کوکریجینگ و متغیر کمکی حداقل بارندگی متوسط ماهانه، بیشترین مقادیر فرسایندگی باران در شرق و شمال خوزستان دیده می‌شود و کمترین مقادیر فرسایندگی در جنوب و غرب استان خوزستان وجود دارد. این مقادیر از  $40.4$  تا  $241.4$  ( $Mj.mm.ha^{-1}.h^{-1}$ ) متغیر است.

واژگان کلیدی: زمین‌آمار، فرسایندگی باران، کوکریجینگ، میان‌یابی.

## مقدمه

می‌توان به شاخص فورنیه و شاخص فورنیه اصلاح شده [۱] اشاره کرد.

با انتخاب شاخص مناسب و محاسبه مقادیر شاخص‌ها به صورت نقطه‌ای و تبدیل این داده‌ها به اطلاعات ناحیه‌ای با استفاده از روش میان‌یابی مناسب می‌توان نقشه فرسایندگی باران را تهیه کرد. نقشه‌های فرسایندگی باران، به عنوان منبع مهمی از اطلاعات، می‌توانند به آبخیزداران و کارشناسان منابع طبیعی در ارائه طرح‌های حفاظت خاک، کترول فرسایش، و مدیریت اراضی کمک شایانی بکنند [۶].

روش‌های مختلفی برای میان‌یابی داده‌ها وجود دارد. در روش‌های میان‌یابی کلاسیک، نتایج به دست آمده از اندازه‌گیری نمونه‌ها مستقل از موقعیت فضایی آن‌ها تحلیل و بررسی می‌شوند. در حالی که در زمین‌آمار، علاوه بر مقدار یک کمیت معین در یک نمونه، به موقعیت فضایی نمونه نیز توجه می‌شود. به عبارت دیگر، باید بتوان بین مقادیر مختلف یک کمیت در جامعه نمونه‌ها و فاصله و جهت قرارگیری نمونه‌ها نسبت به هم ارتباطی برقرار کرد [۷].

محققی، به منظور استفاده از ارتفاع برای کمک به نقشه‌برداری زمین‌آماری فرسایندگی باران در منطقه آلگاروی پرتقال، نقشه فرسایندگی ماهانه و سالانه را با مدل رقومی ارتفاع در هم آمیخت. وی از روش‌های کریجینگ ساده، کریجینگ با یک روند خارجی، و کوکریجینگ برای میان‌یابی استفاده کرد؛ بهترین نتایج از روش کوکریجینگ، که اطلاعات ثانویه را به طور مستقیم در محاسبه فرسایندگی باران در هم می‌آمیزد، به دست آمد [۴]. در مطالعه‌ای نقشه فرسایندگی باران برای برزیل با استفاده از شاخص GIS ویشمایر- اسمیت به دست آمد. در این تحقیق از برای میان‌یابی و تولید نقشه استفاده شد [۲۲]. محققان دیگری تغییرات وجود روند را در مقادیر شاخص فرسایندگی  $EI_{30}$  بررسی کردند. در این

فرسایش فرایند پیچیده‌ای است که از اثر متقابل خاک، اقلیم، تپوگرافی، پوشش سطحی، و کاربری زمین حاصل می‌شود. اثر اقلیم، فرسایندگی شناخته می‌شود و عموماً در رابطه با شدت و مقدار بارندگی بیان می‌شود که این دو پتانسیل فرسایش را تعیین می‌کنند [۱۰]. فرسایندگی باران توانایی بالقوه باران در جداسازی و انتقال ذرات خاک است [۲۲].

فرسایندگی باران را می‌توان از دو روش تعیین نمود: اندازه‌گیری مستقیم؛ استفاده از شاخص‌ها [۱۴]. به دلیل دشواری روش مستقیم، برخی محققان با اندازه‌گیری هم‌زمان میزان پاشمان یا تلفات خاک و خصوصیات بارندگی و برقراری روابطی بین آن‌ها به شاخص‌هایی رسیده‌اند که مبنی بر خصوصیات بارندگی است [۱۱، ۱۹، ۲۵].

به طور کلی، شاخص‌های فرسایندگی باران را می‌توان در قالب دو گروه تقسیم کرد: شاخص‌های مبنی بر انرژی جنبشی یا شدت بارندگی و شاخص‌های مبنی بر آمار سهل‌الوصول بارندگی [۶]. در دسته اول به شکلی از شدت بارندگی یا انرژی جنبشی یا هر دوی آن‌ها در ارائه شاخص فرسایندگی استفاده می‌شود. از این گروه می‌توان به شاخص‌های  $KE > 1$  [۱۳]،  $EI_m < 25$  [۲۵]،  $t/p < 17$  [۱۱]، و  $AI_m < 1$  [۱۷] اشاره کرد. یکی از مشکلات این دسته از شاخص‌ها نیاز به آمار طولانی مدت شدت بارندگی و ایستگاه‌های مجهز به باران‌نگار است - که چنین شرایطی در بیشتر نقاط دنیا وجود ندارد. از این رو، محققان با استفاده از آمار سهل‌الوصول بارندگی، که به سادگی در ایستگاه‌های باران‌سنگی قابل تهیه‌اند، شاخص‌های ساده‌تری ارائه کرده‌اند. این شاخص‌ها یا از تحلیل منطقه‌ای تولید رسوب یا از طریق برقراری همبستگی و رابطه با شاخص  $EI_{30}$  به دست آمده‌اند. از معروف‌ترین شاخص‌های این گروه

فارس، از اقالیم متنوع تشکیل یافته است؛ وسعت عمده‌ای از آن در نواحی از اقالیم بیابانی و خشک و نیمه‌خشک تشکیل شده و در ارتفاعات به شرایط اقلیمی خشک و نیمه‌خشک ضعیف و نیمه‌مرطوب تغییر می‌کند. میانگین بارندگی در جنوب غربی استان کمتر از ۱۵۰ میلی‌متر است، ناحیه اهواز بیش از ۲۰۰ میلی‌متر، دامنه‌های شمالی مانند دزفول، گتوند، و مسجد سلیمان بیش از ۳۰۰ میلی‌متر، محل سد دز و سد شهید عباس پور بیش از ۵۰۰ میلی‌متر، و به طرف ارتفاعات شمال شرقی استان به تدریج افزایش می‌یابد تا به ۱۰۰۰ میلی‌متر می‌رسد. خوزستان از نظر دمایی گرم است. میانگین درجه حرارت آن در تیرماه حدود ۳۰ درجه سانتی‌گراد و در دی‌ماه حدود ۱۰ درجه سانتی‌گراد است [۸].

### داده‌های مورد استفاده

این پژوهش بر اساس آمار و اطلاعات بارندگی در ایستگاه‌های باران‌سنگی و همچنین برگه‌های باران‌نگاری در ایستگاه‌های سینوپتیک و باران‌سنجد ثبات انجام یافته است. با درنظرگرفتن دوره آماری ۲۱ سال (۱۳۸۰—۱۳۶۰)، ۶۵ ایستگاه باران‌سنگی، ۹ ایستگاه سینوپتیک و باران‌سنجد ثبات، و ۵ ایستگاه رسوب‌سنجدی انتخاب شد. شکل ۱ موقعیت جغرافیایی ایستگاه‌های باران‌نگاری و باران‌سنجد استان خوزستان را نشان می‌دهد.

داده‌های روزانه بارندگی از اطلاعات ایستگاه‌های باران‌سنجدی و داده‌های شدت بارندگی با فاصله زمانی ۱، ۱۰، و ۱۵ دقیقه‌ای از ایستگاه‌های سینوپتیک سازمان هواشناسی و ایستگاه‌های باران‌سنجدی ثبات وزارت نیرو استخراج شد. نوافض آماری ایستگاه‌ها با استفاده از روش همبستگی برطرف گردید. همگنی آمار با استفاده از روش جرم مضاعف بررسی شد.

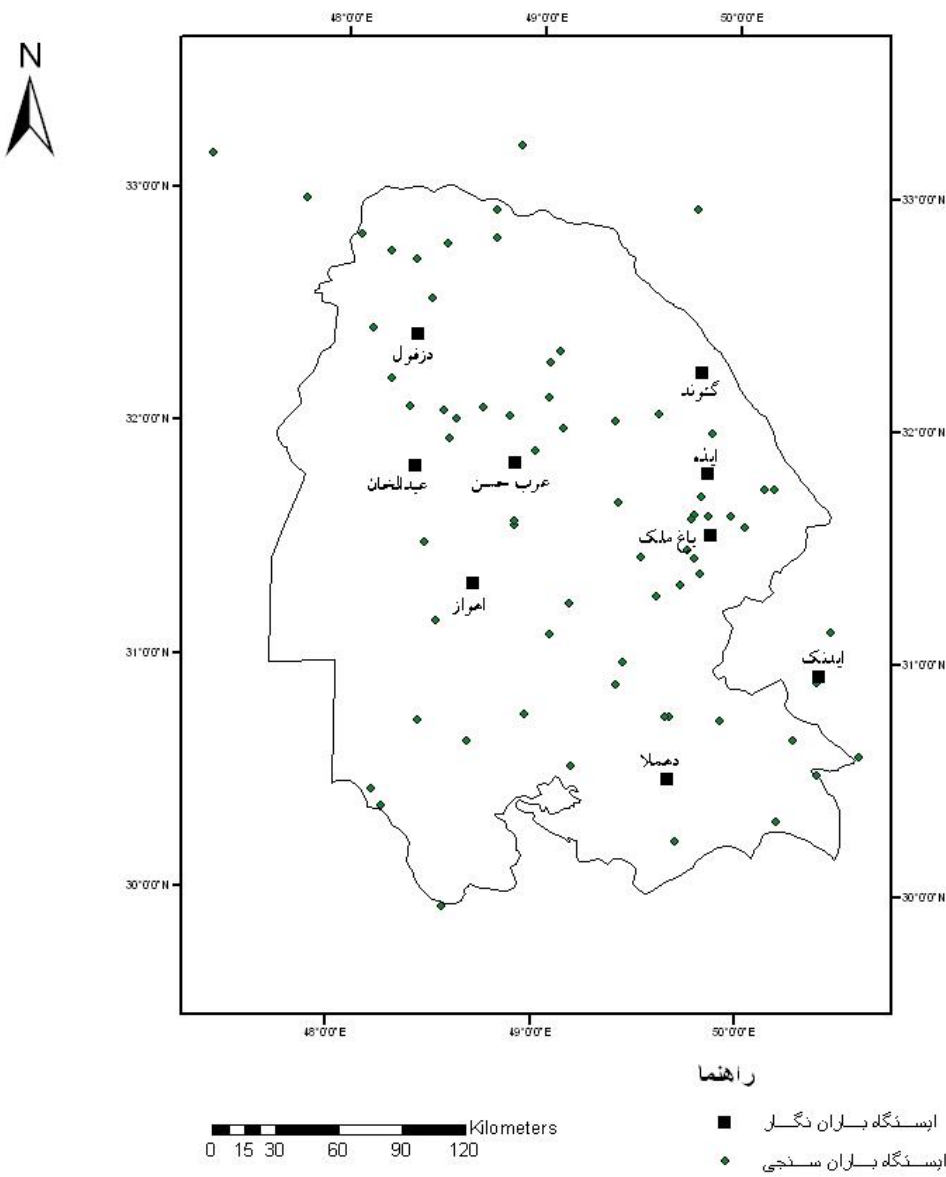
تحقیق از بارش روزانه برای برآورد EI<sub>30</sub> استفاده شد [۲]. در تحقیقی با استفاده از شاخص فورنیه و روش میان‌یابی کریجینگ نقشه فرسایندگی باران برای کل کشور ایران با استفاده از داده‌های بارندگی ۹۰ ایستگاه هواشناسی به دست آمد [۱۵]. محققانی، با بررسی روش‌های مختلف میان‌یابی و شاخص‌های فرسایندگی باران، نقشه فرسایندگی باران را بر اساس شاخص ویشمایر- اسمیت و روش میان‌یابی فازی کریجینگ ارائه دادند [۲۳]. بررسی منابع فوق نشان می‌دهد که انتخاب شاخص مناسب فرسایندگی باران و روش مناسب میان‌یابی به متغیر مورد بررسی و شرایط اقلیمی و توپوگرافی وابسته است.

این تحقیق به منظور بررسی شاخص‌های مختلف فرسایندگی باران و تخمین مکانی آن‌ها به روش‌های مختلف زمین‌آماری و غیر زمین‌آماری و تهیه نقشه فرسایندگی باران در استان خوزستان صورت گرفته است.

### مواد و روش‌ها

استان خوزستان در جنوب غرب کشور در محدوده جغرافیایی ۲۹ درجه و ۵۶ دقیقه تا ۳۳ درجه و ۵ دقیقه عرض شمالی و ۴۲ درجه و ۴۷ دقیقه تا ۵۰ درجه و ۲۲ دقیقه طول شرقی واقع شده است. مساحت این استان بیش از ۶۷۰۰۰ کیلومتر مربع است. دامنه تغییرات ارتفاع استان از صفر تا نزدیک ۴۰۰۰ متر نوسان دارد و استان را به دو بخش جلگه‌ای به مساحت حدود ۴۱۰۰۰ کیلومتر مربع و کوهستانی به مساحت بیش از ۲۶۰۰۰ کیلومتر مربع تقسیم کرده است.

استان خوزستان از نظر منابع آب به سه بخش تقسیم شده است: حوضه کرخه؛ حوضه دز- کارون؛ حوضه مارون- زهره. استان خوزستان، به علت وجود اختلاف ارتفاع زیاد، مناطق مختلف، و وجود خلیج



شکل ۱. موقعیت جغرافیایی ایستگاه‌های باران نگاری و باران سنجی در استان خوزستان

انرژی جنبشی یا شدت بارندگی در ایستگاه‌های باران سنجی برآورد گردید؛ بدین نحو که، با ایجاد معادلات همبستگی دوگانه و چندگانه بین دو دسته از شاخص‌ها در ایستگاه‌های باران‌نگاری، شاخص‌های مبتنی بر انرژی جنبشی در ایستگاه‌های باران‌سنجی برآورد شد. سپس، با استفاده از روش‌های میان‌یابی، این شاخص‌ها در همه ایستگاه‌ها میان‌یابی گردید. در نهایت، با ارزیابی روش‌های مختلف میان‌یابی و

در این تحقیق، برای بررسی تغییرات مکانی فرسایندگی باران در استان خوزستان و ارائه نقشه هم‌فرساینده استان خوزستان، نخست شاخص‌های مبتنی بر انرژی جنبشی یا شدت بارندگی در ایستگاه‌های باران‌نگاری محاسبه شد. سپس، شاخص‌ها و خصوصیات سهول الوصول بارندگی در ایستگاه‌های باران سنجی و باران‌نگاری محاسبه شد. در مرحله بعد، شاخص‌های فرسایندگی مبتنی بر

طبق روشی که برای  $EI_{30}$  گفته شد محاسبه می‌شود؛ با این تفاوت که انرژی جنبشی یک بارندگی برای فواصل زمانی با شدت بیش از یک اینچ در ساعت محاسبه می‌شود و انرژی جنبشی برای فواصل زمانی با شدت کمتر از یک اینچ در ساعت حذف می‌شود [۱۶]. رابطه تجربی برآورده انرژی جنبشی در این شاخص عبارت است از:

(رابطه ۳)

$$KE = 29.8 - \frac{127.5}{I}$$

$KE$  انرژی جنبشی برای فاصله زمانی  $t$ ام برابر حسب ژول بر میلی متر بر متر مربع ( $J.m^{-2}.mm^{-1}$ ) است و  $I_r$  شدت بارندگی در فاصله زمانی  $r$  (میلی متر بر ساعت).

شاخص سوم  $AI_m$  است که در آن  $A$  مقدار بارندگی هر باران بر حسب سانتی‌متر است و  $I_m$  حداکثر شدت بارندگی ۱۰ دقیقه‌ای بارندگی مربوطه بر حسب سانتی‌متر در ساعت [۱۳].

شاخص چهارم  $Onchev$  ( $p/t$ ) است که در این شاخص  $p$  مقدار بارندگی برابر یا بیش از  $9/5$  میلی متر با شدت بارندگی برابر یا بیش از  $18/0$  میلی متر در دقیقه است و  $t$  مدت بارندگی با شدت برابر یا بیش از  $18/0$  میلی متر در دقیقه. مقدار متوسط سالانه ( $p/t$ ) از جمع شاخص‌ها برای همه وقایع بارندگی حاصل می‌شود [۱۷].

### شاخص‌های سهل‌الوصول بارندگی شاخص فورنیه و فورنیه اصلاح شده

$$F = \frac{P_m^2}{P} \quad (\text{رابطه } 4)$$

$$MF = \frac{\sum_{i=1}^{12} P_i^2}{P} \quad (\text{رابطه } 5)$$

که در آن  $F$  شاخص فورنیه (میلی متر) است،  $P_m$  مقدار بارندگی در مرطوب‌ترین ماه سال یا متوسط حداکثر بارندگی ماهانه در سال،  $P$  متوسط مقدار

انتخاب بهترین روش میان یابی و بر اساس تحلیل منطقه‌ای رسوب (همبستگی بهتر شاخص‌های فرسایندگی با رسوب دهی ویژه)، بهترین شاخص فرسایندگی انتخاب و نقشه هم فرساینده استان خوزستان تهیه شد.

### شاخص‌های مبتنی بر انرژی جنبشی یا شدت بارندگی

حاصل ضرب انرژی جنبشی یک بارندگی (KE) در حداکثر شدت ۳۰ دقیقه‌ای ( $I_{30}$ ) آن را شاخص  $EI_{30}$  می‌نامند. برای محاسبه انرژی جنبشی یک بارندگی از روابط تجربی استفاده می‌شود که عبارت‌اند از:

$$I_r = \frac{\Delta V_r}{\Delta t_r} \quad (\text{رابطه } 2)$$

$KE = 11.87 + 8.73 \log I_r$  KE انرژی جنبشی برای فاصله زمانی  $t$ ام بحسب ژول بر میلی متر بارش بر متر مربع ( $J.m^{-2}.mm^{-1}$ ) است،  $I_r$  شدت بارندگی در فاصله زمانی  $r$  (میلی متر بر ساعت)،  $\Delta V_r$  مقدار بارندگی در فاصله زمانی  $r$  (میلی‌متر)،  $\Delta t_r$  فاصله زمانی (ساعت). انرژی جنبشی کل از جمع مقادیر حاصل ضرب های انرژی‌های محاسبه شده در مقدار بارندگی فواصل زمانی مربوط به دست می‌آید. بنابراین، برای تعیین شاخص  $EI_{30}$ ، انرژی جنبشی کل هر بارش باید در حداکثر شدت ۳۰ دقیقه‌ای همان بارش ضرب شود. این شاخص برای همه بارندگی‌های رخداده در یک سال محاسبه شد و متوسط آن‌ها به عنوان میزان  $EI_{30}$  سال مربوطه قرار گرفت. برای تعیین  $EI_{30}$  متوسط سالانه برای یک دوره آماری،  $EI_{30}$  های سال‌های آماری با هم جمع و متوسط‌گیری می‌شود [۱۶].

شاخص دیگر شاخص هادسون ( $KE > 1$ ) است که  $KE$  انرژی جنبشی یک واقعه بارندگی است و

استوار است. این تخمین‌گر بهترین تخمین‌گر خطی نالاریب<sup>۱</sup> شناخته می‌شود. اساس تخمین‌گر کریجینگ<sup>۲</sup> بر تعریف نیم تغییرنما استوار است. تغییر واریانس بین نقاطی به فاصله  $h$  از یکدیگر می‌تواند همبستگی متقابل بین مقدار متغیر بین این نقاط را نشان دهد. این واریانس وابسته به فاصله را نیم تغییرنما می‌نامند که با  $\gamma(h)$  نشان می‌دهند و به شکل زیر تعریف می‌شود:

$$(رابطه ۷)$$

$$2\gamma(h) = 1/n \sum_{i=1}^n [Z(x_i + h) - Z(x_i)]^2$$

که در آن  $Z(x_i)$  و  $Z(x_i + h)$  مقدار متغیر در نقاط  $x$  و  $x_i + h$  و  $n$  تعداد جفت‌نمونه‌های به کاررفته به ازای هر فاصله  $h$  است. هر تغییرنما با پارامترهای آن، یعنی اثر قطعه‌ای، دامنه تأثیر یا شعاع تأثیر، و سقف، مشخص می‌شود. پس از محاسبه تغییرنماهای تجربی و قبل از عملیات تخمین، از طریق برآش توابع ریاضی مناسب به واریوگرام تجربی می‌توان مدل مناسب تئوری را انتخاب کرد [۷]. از نقطه‌نظر تئوری، روش کوکریجینگ با روش کریجینگ اختلاف چندانی ندارد. در این روش می‌توان با درنظرگرفتن متغیر کمکی، که داده‌های کافی از آن وجود دارد، و بر اساس همبستگی متقابل بین متغیرهای اصلی و ثانویه فرایند تخمین را انجام داد. معادله کوکریجینگ برای برآورد نقاط مجھول به شرح زیر است:

$$(رابطه ۸)$$

$$Z^*(x_i) = \sum \lambda_i Z(x_i) \cdot \sum \lambda_k y(x_k)$$

که در آن  $Z^*(x_i)$  مقدار تخمین‌زده شده برای نقطه  $x_i$ ،  $\lambda_i$  وزن مربوط به متغیر  $z$ ،  $\lambda_k$  وزن مربوط به متغیر  $y(x_k)$ ،  $Z(x_i)$  مقدار مشاهده شده متغیر اصلی، و  $y(x_k)$  مقدار مشاهده شده متغیر کمکی است. در جدول ۱ روش‌های میان‌یابی مورد استفاده در این تحقیق و علامت اختصاری آن‌ها معرفی شده است.

1. best linear unbiased estimator  
2. kriging

بارندگی سالانه،  $MF$  شاخص فورنیه اصلاح شده (میلی‌متر)،  $P_i$  متوسط بارندگی برای ماه  $i$  (میلی‌متر) [۱۸]. این دو شاخص با استفاده از آمار دوره ۲۱ ساله محاسبه می‌شود و محاسبه سالانه صورت نمی‌گیرد. شاخص  $p\delta$  نیز از دیگر شاخص‌های این گروه است. این شاخص از طریق تحلیل منطقه‌ای رسوب در ایتالیا توسط سیکاکی و همکاران در سال ۱۹۷۷ به دست آمده است که در آن  $P$  بارندگی متوسط سالانه (میلی‌متر) و  $\delta$  انحراف معیار بارندگی‌های ماهانه (میلی‌متر) است [۵]. این شاخص با استفاده از آمار کل دوره زمانی محاسبه می‌شود.

### میان‌یابی

روش‌های میان‌یابی به دو دسته کلی تقسیم می‌شوند: قطعی؛ زمین‌آماری. از هر دسته چند روش برای درون‌یابی انتخاب گردید. در روش توابع شعاعی پایه از توابع ریاضی برای حداقل‌سازی احنا و نوسانات سطحی متغیر استفاده می‌شود. پارامترهای توابع ریاضی مورد استفاده به نحوی تنظیم می‌شوند که سطح کلی برآورده شده با دارابودن حداقل احنا از نقاط اندازه‌گیری شده عبور کند. در روش عکس فاصله وزن دار وزن تابعی از عکس فاصله است و نقاط نزدیک‌تر تأثیر بیشتری در برآورد نقطه‌مجھول دارند. فرمول کلی روش عکس فاصله وزن دار به صورت زیر تعریف می‌شود:

$$Z^*(x_i) = \sum \lambda_i Z(x_i) \quad (رابطه ۶)$$

$Z^*(x_i)$  مقدار تخمینی متغیر،  $Z(x_i)$  مقدار مشاهده شده متغیر،  $n$  تعداد مشاهدات، و  $\lambda_i$  وزن یا اهمیت نمونه  $i$  است. در روش کریجینگ نیز از رابطه ۶ برای تخمین استفاده می‌شود، ولی به طور کلی بهترین تخمین روشنی است که بهترین شیوه وزن را برای متغیر  $Z(x_i)$  پیدا نماید. کریجینگ روش تخمینی است که بر منطق میانگین متحرک وزن دار

## جدول ۱. روش‌های میان‌یابی مورد استفاده در تحقیق

علامت اختصاری			روش میان‌یابی
CRS	Completely Regularized Spline		
SP	Spline with Tension		
MQ	Multiquadratic		
IMQ	Inverse Multiquadratic		توابع شعاعی پایه
TPS	Thin Plate Spline		
IDW1	P=1	توان	روش‌های قطعی
IDW2	P=2	توان	عکس فاصله وزن دار
IDW3	P=3	توان	
OK	Ordinary Kriging		کریجینگ معمولی
CK	Co-Kriging		روش زمین‌آماری کوکریجینگ

خطای انحراف که نشان دهنده میانگین انحراف معیار مقدار برآورده از مقدار مشاهده است. پیشنهاد شده که MAE می‌تواند به عنوان معیاری که هر دو ویژگی دقیقت روشن و انحراف را در بر دارد برای مقایسه دقیقت روشن‌ها به کار رود [۱۲]. RMSE ریشه دوم میانگین مربع خطأ،  $(x_i)^*$  مقادیر برآورده شده متغیر  $x$  در نقطه  $i$  ( $Z(x_i)$ ) مقادیر مشاهده شده متغیر  $x$  در نقطه  $i$  و  $n$  تعداد متغیر مشاهده شده است که هر قدر این معیارها به صفر نزدیک‌تر باشند نشان دهنده اختلاف کمتر مقادیر برآورده شده نسبت به مقادیر مشاهده شده است.

## نتایج

نتایج ارزیابی روش‌های مختلف میان‌یابی برای شاخص‌های فرسایندگی باران در جداول ۲ تا ۵ ارائه شده است. نتایج این جداول نشان می‌دهد که روش میان‌یابی کوکریجینگ بهترین نتایج را در بین روش‌های میان‌یابی دارد.

برای انتخاب مناسب‌ترین روش میان‌یابی از روش ارزیابی متقابل<sup>۱</sup> استفاده می‌شود. در این روش در هر مرحله یک نقطه مشاهده‌ای حذف و با استفاده از بقیه نقاط مشاهده‌ای آن نقطه برآورده شود. برای ارزیابی میزان دقیقت و خطأ از معیارهای MBE، RMSE، MAE، و ضریب تبیین استفاده می‌شود [۴] که عبارت‌اند از:

(رابطه ۹)

$$MAE = \frac{1}{n} \sum_{i=1}^n |(Z^*(x_i) - Z(x_i))| \quad (رابطه ۱۰)$$

$$MBE = \frac{1}{n} \sum_{i=1}^n ((Z^*(x_i) - Z(x_i))) \quad (رابطه ۱۱)$$

$$RMSE = \sqrt{\frac{\sum_{i=1}^n [(Z^*(x_i) - Z(x_i))^2]}{n}}$$

MAE میانگین قدر مطلق خطأ که معرف دقیقت روش و مقدار متوسط خطاست، MBE میانگین

## 1. Cross Validation

جدول ۲. نتایج ارزیابی روش‌های میانیابی با استفاده از شاخص فرسایندگی  $EI_{30}$ 

$R^2$	RMSE	MAE	MBE	روش میانیابی
۰/۸۹	۱۸۴	۱۴۰	-۱/۸۶	Cokriging
۰/۶۹	۳۱۲	۲۱۹	۰/۷۱	Ordinary kriging
۰/۶۸	۳۱۳	۲۰۷/۸	-۱/۸	Completely regularized spline
۰/۶۸	۳۱۳	۲۰۷/۶	-۱/۸۱	Spline with tension
۰/۶۹	۳۱۱	۲۱۱/۶	۳/۳۴	Multiquadratic
۰/۶۶	۳۲۵	۲۱۷	-۱/۲۴	Inverse Multi quadratic
۰/۵۶	۳۸۵	۲۶۰	۶/۴	Thin plate spline
۰/۶۸	۳۱۶	۲۱۶	-۰/۴	IDW1
۰/۶۹	۳۰۷/۵	۲۱۱	۰/۳۷	IDW2
۰/۶۸	۳۱۴	۲۱۷	۱/۰	IDW3

جدول ۳. نتایج ارزیابی روش‌های میانیابی با استفاده از شاخص فرسایندگی  $AI_m$ 

$R^2$	RMSE	MAE	MBE	روش میانیابی
۰/۸۹	۱۴۶۵	۱۱۱۹	۱/۷۴	Cokriging
۰/۶۷	۲۵۴۳	۱۷۰۱	۰/۹	Ordinary kriging
۰/۶۸	۲۴۸۳	۱۸۰۷	-۴۱/۱	Completely regularized spline
۰/۶۸	۲۴۸۴	۱۸۱۰	-۴۱/۷	Spline with tension
۰/۶۷	۲۵۲۶	۱۷۹۳	-۱۶/۶	Multiquadratic
۰/۶۶	۲۵۳۹	۱۸۳۷	-۴۷/۰	Inverse Multi quadratic
۰/۶۱	۲۸۳۹	۱۹۸۳	-۹۶/۳	Thin plate spline
۰/۷۰	۲۴۰۶	۱۶۹۵	۰/۵۶	IDW1
۰/۷۰	۲۴۰۴	۱۶۷۸	-۰/۲۹	IDW2
۰/۶۹	۲۴۶۵	۱۷۲۱	۰/۳۴	IDW3

جدول ۴. نتایج ارزیابی روش‌های میانیابی با استفاده از شاخص  $KE \geq 1$ 

$R^2$	RMSE	MAE	MBE	روش میانیابی
۰/۴۸	۲۲۲	۱۴۱	۱/۳۲	Cokriging
۰/۲۲	۲۷۳	۱۸۷	۴/۲	Ordinary kriging
۰/۲۱	۲۷۳/۴	۱۸۶	-۲/۲	Completely regularized spline
۰/۲۱	۲۷۳/۳	۱۸۶/۹	۲/۲۹	Spline with tension
۰/۱۹	۲۹۰	۲۰۱	۵/۲۳	Multiquadratic
۰/۲۴	۲۶۷/۲	۱۸۳/۳	-۳/۶	Inverse Multi quadratic
۰/۱۵	۳۴۷	۲۴۴	۲۱/۳	Thin plate spline
۰/۲۶	۱۷۸	۲۶۴	۰/۳۱	IDW1
۰/۲۹	۱۷۸	۲۶۱	۰/۱۲	IDW2
۰/۲۹	۱۸۴	۲۶۸	۰/۶	IDW3

جدول ۵. نتایج ارزیابی روش‌های میان‌یابی با استفاده از شاخص فرسایندگی  $t/\sqrt{p}$ 

R <sup>2</sup>	RMSE	MAE	MBE	روش میان‌یابی
۰,۴۹	۲,۰۳۷	۱,۵۷	-۰,۰۱	Cokriging
۰,۱۸	۲,۶۸	۲,۱۶	-۰,۰۲۶	Ordinary kriging
۰,۲۰	۲,۵۶	۲,۰۷	۰,۰۰۰۵۲	Completely regularized spline
۰,۲۰	۲,۵۵	۲,۰۷	۰,۰۰۱۷	Spline with tension
۰,۱۵	۲,۸۸	۲,۳۶	۰,۰۶۹	Multiquadratic
۰,۱۹	۲,۵۷	۲,۰۵۲	۰,۰۱۳	Inverse Multi quadratic
۰,۱۰	۳,۴۹	۲,۸۲	-۰,۲۷	Thin plate spline
۰,۲۵	۲,۴۷	۱,۹	-۰,۰۴۲	IDW1
۰,۲۳	۲,۵۸	۲,۱۱	-۰,۱۱	IDW2
۰,۱۹	۲,۷۸	۲,۳	-۰,۱۸۲	IDW3

فرسایندگی باران، متغیرهایی که همبستگی بیشتری داشتند بررسی شدند و از متغیرهای حداکثر بارندگی متوسط ماهانه و حداکثر بارندگی روزانه در میان‌یابی شاخص‌های  $EI_{30}$  و  $t/\sqrt{p}$  و ارتفاع ایستگاه برای میان‌یابی شاخص‌های  $AI_m$  و  $KE > 1$  به عنوان متغیر کمکی استفاده شد. اطلاعات ارتفاع و داده‌های بارندگی سهل الوصول به راحتی و با دقت مناسب در دسترس هستند و از آن‌ها می‌توان در میان‌یابی به عنوان متغیر کمکی به شکل مؤثری استفاده کرد.

مدل برآش داده شده بر تغییرنماهای تجربی و مشخصات آن‌ها در روش‌های کریجینگ و کوکریجینگ در جداول ۶ تا ۹ ارائه شده است. بر اساس نتایج این جداول، مدل برآش داده شده از نوع کروی است.

با بررسی همسان‌گردی و ناهمسان‌گردی مشخص شد که فقط شاخص  $EI_{30}$  در زاویه ۱۳۵ درجه دارای ناهمسان‌گردی است و بقیه شاخص‌ها همسان‌گردند. در روش کوکریجینگ، با توجه به همبستگی متغیرهای مختلف با شاخص‌های

جدول ۶. مشخصات مدل برآش داده شده بر داده‌های شاخص  $EI_{30}$ 

روش میان‌یابی	مدل برآش یافته	شعاع تأثیر (متر)			آستانه (Mj.mm.ha <sup>-1</sup> .h <sup>-1</sup> ) <sup>2</sup>	اثر قطعه‌ای (Mj.mm.ha <sup>-1</sup> .h <sup>-1</sup> ) <sup>2</sup>
		شعاع بزرگ	شعاع کوچک	شعاع تأثیر		
کروی	کروی	۱۲۰۰۰	۳۱۴۰۰	۱۲۰۰۰	۴۰۸۰۲۰	۱۹۰۰
کریجینگ	کروی	۱۶۱۰۰	۳۴۳۰۰	۱۶۱۰۰	۴۴۱۲۵۰	۱۲۱۷۸

جدول ۷. مشخصات مدل برآش داده شده بر داده‌های شاخص  $AI_m$ 

روش میان‌یابی	مدل برآش یافته	شعاع تأثیر (متر)	آستانه (mm <sup>2</sup> /h) <sup>2</sup>	اثر قطعه‌ای (mm <sup>2</sup> /h) <sup>2</sup>
کروی	کروی	۱۱۰۰۰	۲۰۸۴۴۰۰	*
کریجینگ	کروی	۱۲۵۰۰	۲۰۰۰۰۰	۱۰۰۰۰۰۰

جدول ۸. مشخصات مدل برآش داده شده بر داده های شاخص  $KE > 1$ 

روش میان یابی	مدل برآش یافته	شعاع تأثیر (متر)	آستانه $(J.m^{-2}.y^{-1})^2$	اثر قطعه ای $(J.m^{-2}.y^{-1})^2$
کوکریجنگ	کروی	۱۱۲۰۶۴	۵۵۷۸۵	۴۶۶۰۴
کریجنگ	کروی	۶۲۹۵	۹۹۰۷۵	.

جدول ۹. مشخصات مدل برآش داده شده بر داده های شاخص  $t/\sqrt{p}$ 

روش میان یابی	مدل برآش یافته	شعاع تأثیر (متر)	آستانه $(mm/h)^2$	اثر قطعه ای $(mm/h)^2$
کوکریجنگ	کروی	۹۵۸۶۳	۵۳۹	۳/۳۴
کریجنگ	کروی	۹۸۴۴۶	۵/۶۷	۳/۱۸

رسوب دهی ویژه این حوضه ها برقرار گردید (جدول ۱۱). مقادیر رسوب دهی ویژه ایستگاه های رسوب سنجی از نتایج مطالعات حسینی زارع و سعادتی [۹] استخراج شده است.

به منظور انتخاب شاخص مناسب فرسایندگی باران، متوسط شاخص های فرسایندگی در حوضه های بالادست ایستگاه های رسوب سنجی استخراج شد (جدول ۱۰). سپس، رابطه همبستگی بین متوسط شاخص های  $AI_m$ ,  $EI_{30}$ , هادسون، و اونچو با میزان

جدول ۱۰. رسوب دهی ویژه و مقادیر متوسط شاخص های فرسایندگی در بالادست حوضه های ایستگاه های رسوب سنجی

نام ایستگاه	رسوب دهی ویژه $(T/km^2/yr)$	$EI_{30}$ $(Mj.mm.ha^{-1}.h^{-1})$	$AI_m$ $(mm^2/h)$	$KE > 1$ $(J.m^{-2}.y^{-1})$	$p/\sqrt{t}$ $(mm/h)$
اهواز	۲۰۶,۴۶	۱۳۶۷	۱۰۱۲۲	۹۷۴	۳,۹۶
پل شالو	۵۳۰,۴۶	۱۵۴۵	۱۲۵۲۰	۱۰۸۴	۳,۶۷
پای پل	۳۶۲	۱۳۸۲	۹۹۳۷	۹۸۷	۴,۸۷
ایدنک	۲۰۸۰	۲۵۲۴	۱۸۹۶۰	۱۳۴۵	۰,۵۱۹
تله زنگ	۸۷۵	۱۵۴۳	۱۱۱۷۶	۱۰۲۸	۳,۲۱

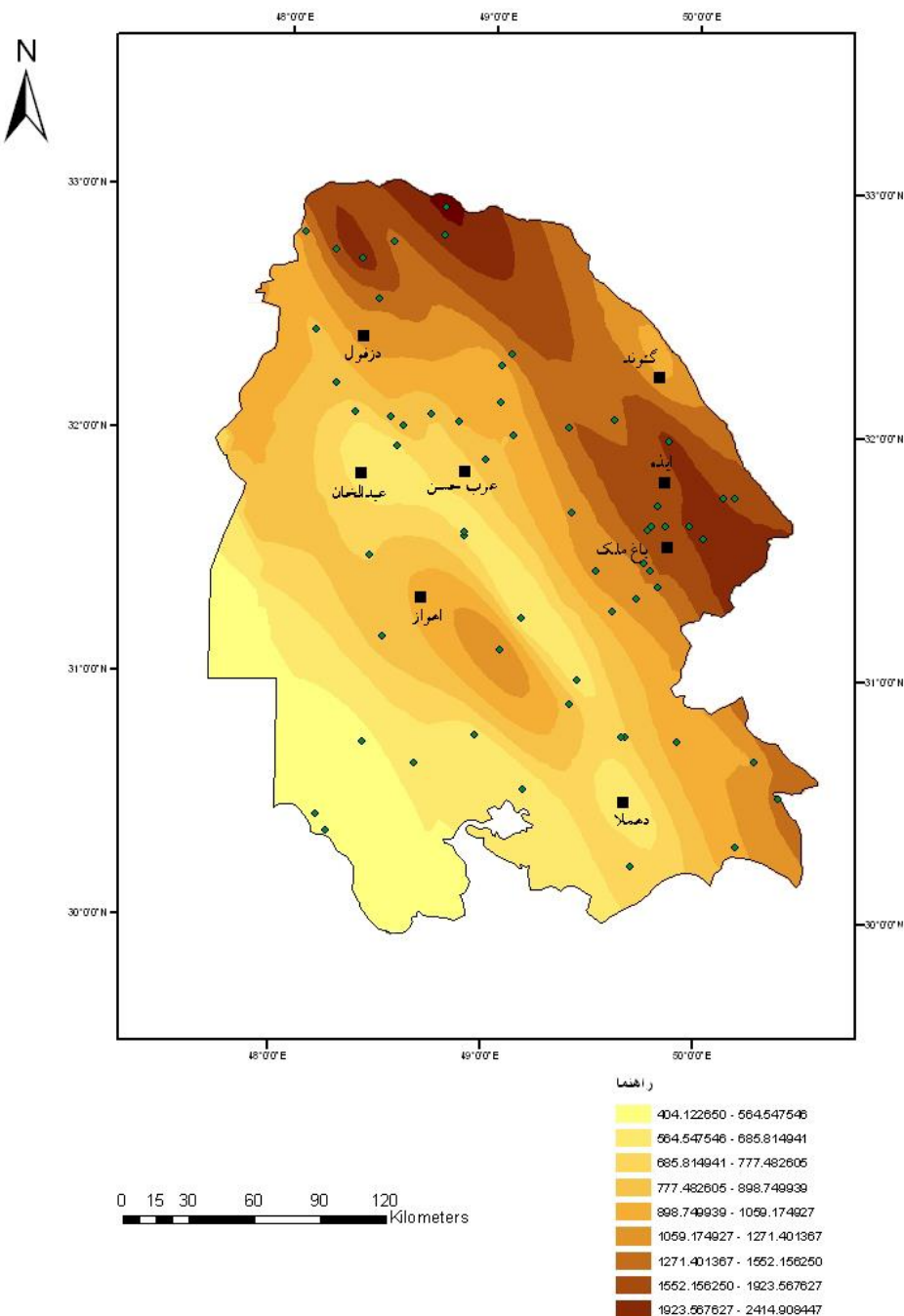
جدول ۱۱. ضرایب همبستگی شاخص های فرسایندگی با رسوب دهی ویژه حوضه های بالادست ایستگاه های رسوب سنجی

متغیر	$EI_{30}$ $(Mj.mm.ha^{-1}.h^{-1})$	$AI_m$ $(mm^2/h)$	$KE > 1$ $(J.m^{-2}.y^{-1})$	$p/\sqrt{t}$ $(mm/h)$
رسوب دهی ویژه (تن بر کیلومتر مربع در سال)	۰,۹۸**	۰,۹۷**	۰,۹۶**	۰,۹۴**

\*\* معنی دار در سطح یک درصد

این تحقیق برای تهیه نقشه فرسایندگی باران استفاده می‌شود. شکل ۲ نقشه فرسایندگی باران ( $EI_{30}$ ) را برای استان خوزستان نشان می‌دهد.

بر اساس نتایج جدول ۷، می‌توان نتیجه گرفت که شاخص  $EI_{30}$  بهترین شاخص برای بررسی فرسایندگی باران در منطقه مورد مطالعه است و در



شکل ۲. نقشه فرسایندگی باران با استفاده از شاخص  $EI_{30}$  در استان خوزستان با روش میان‌یابی کوکریجینگ

محققان دیگر [۲۳، ۲۱، ۴] هم‌سویی دارد. این محققان نیز، با بررسی روش‌های مختلف میان‌یابی، روش کوکریجینگ را مناسب تشخیص دادند. برای بررسی ساختار مکانی در این تحقیق، در هر چهار شاخص مورد بررسی مدل کروی برازش یافت. محقق دیگری هم در بررسی ساختار مکانی شاخص EI<sub>30</sub> بهترین مدل را کروی انتخاب نمود [۴]، در حالی که محققی مدل نمایی [۲۳] و محققانی هم مدل گوسی [۲۴، ۲۱] را بهترین مدل برای بررسی ساختار مکانی شاخص EI<sub>30</sub> انتخاب کردند؛ این تفاوت ممکن است به دلیل تنوع و پیچیدگی اقلیمی و تغییرات ناگهانی متغیر یا بزرگی دامنه تأثیر نسبت به ابعاد محدوده تحت پوشش نمونه‌برداری باشد.

با توجه به نقشه فرسایندگی باران تهیه شده از روش کوکریجینگ، بیشترین مقادیر فرسایندگی باران (شاخص EI<sub>30</sub>) در شرق و شمال خوزستان دیده می‌شود و کمترین مقادیر فرسایندگی در جنوب و غرب استان خوزستان وجود دارد. این مقادیر از ۴۰۴ تا ۲۴۱۴ ( $Mj.mm.h^{-1}.h^{-1}$ ) متغیر است. به طور کلی، هر چه از غرب و جنوب به سمت شرق و شمال استان خوزستان برویم مقدار شاخص فرسایندگی باران با افزایش ارتفاع و متعاقب آن با افزایش بارندگی زیاد می‌شود، به طوری که در مناطق پست و جلگه‌ای مقدار شاخص فرسایندگی کم و در مناطق مرتفع و کوهستانی شاخص فرسایندگی باران زیاد است.

## بحث و نتیجه‌گیری

با توجه به اینکه شاخص EI<sub>30</sub> بالاترین همبستگی را با رسوب‌دهی ویژه ایستگاه‌های رسوب‌سنجدی (۰/۹۸) نشان داده است، به عنوان بهترین شاخص و مناسب‌ترین شاخص فرسایندگی باران در استان خوزستان انتخاب شد و نقشه هم‌فرساینده استان خوزستان بر اساس این شاخص تهیه شد؛ هرچند که نتایج حاصل از شاخص AI<sub>m</sub> به این شاخص بسیار نزدیک است. بنابراین، این دو شاخص برای منطقه مورد مطالعه توصیه می‌شوند. محققان مختلف از شاخص EI<sub>30</sub> برای تهیه نقشه‌های فرسایندگی باران استفاده نموده‌اند [۲۳، ۲۱، ۳].

از بین روش‌های میان‌یابی زمین‌آماری و قطعی استفاده شده در این تحقیق، روش کوکریجینگ، به دلیل استفاده از متغیر کمکی - که همبستگی بالایی با متغیر اصلی دارد - و اینکه داده‌ها از ساختار مکانی خوبی برخوردارند، از دقت بیشتری نسبت به سایر روش‌های میان‌یابی برخوردار است؛ چنان‌که در میان‌یابی شاخص‌های EI<sub>30</sub>، AI<sub>m</sub>، KE<sub>1</sub>، و  $t^{p/7}$  به ترتیب با ضرایب تبیین ۰/۴۹، ۰/۴۸، ۰/۸۹، و ۰/۴۹ بهترین نتایج به دست آمد. نتایج حاصل از این تحقیق تأییدکننده اهمیت استفاده از روش‌های مناسب میان‌یابی است. استفاده از متغیر کمکی در روش کوکریجینگ در کشور ما، که در آن کمبود اطلاعات و تراکم نمونه‌ها فاکتوری محدود کننده در دقت و کیفیت میان‌یابی بسیاری از متغیرهای محیطی عمل می‌کند، مهم و اثرگذار است. نتایج این تحقیق با نتایج

## References

- [1] Arnoldus, H.M.J. (1980). An approximation of the rainfall factor in the universal soil loss equation. In: de Boodt, M., Gabriels, D. (Eds.), *Assessment of erosion*, Wiley, New York, 127-132.
- [2] Capolongo, D., Diodato, N., Mannaerts, C.M., Piccarreta, M. and Strobl, R.O. (2008). Analyzing temporal changes in climate erosivity using a simplified rainfall erosivity model in Basilicata (southern Italy). *Journal of Hydrology*, 356, 119-130.
- [3] Ceglar, A., Crepinsek, Z., Zupanc, V. and Kajfez-Bogataj, L. (2008). A comparative Study of rainfall erosivity for eastern and western Slovenia. *Acta Agriculturae Slovenia*, 91(2), 331-341.
- [4] Goovaerts, P. (1999). Using elevation to aid the geostatistical mapping of rainfall erosivity. *Catena*, 34, 227-242.
- [5] Hadley, R.F., Lal, R., Onstad, C.A., Walling, D.E. and Yair, A. (1985). *Recent developments in erosion and sediment yield studies*. UNESCO, Paris, 127p.
- [6] Hakimkhani, Sh., Mahdian, M.H., Arab Khedri, M. and Ghorbanpour, D. (2005). Investigating rain erosivity using Modified Fournier for Iran. *Third National Conference of Erosion and Sediment*, Tehran, 281-288.
- [7] Hasani Pak, A. (1998). *Geostatistics*. Tehran University Press, 314p.
- [8] Hoghoughi, M. (1995). Khuzestan and its development capacities, *Water and Development Journal*, 4, 17-25.
- [9] Hosini Zare, N. and Saadati, N. (2005). Estimating of erosion and sediment using of sedimentology data and computation of suspended load in Khuzestan Province rivers catchments. *Third National Conference of Erosion and Sediment*, Tehran, 273-280.
- [10] Hoyos, N., Waylen, P.R. and Jaramillo, A. (2005). Seasonal and spatial patterns of erosivity in a tropical watershed of the Colombian Andes. *Journal of Hydrology*, 314, 177-191.
- [11] Hudson, N. (1971). *Soil conservation*. Billing & Sons Ltd, Great Britain, 320p.
- [12] Isaaks, E.H. and Srivastava, R.M. (1989). *An introduction to applied geostatistics*. Oxford University Press, 561p.
- [13] Lal, R. (1976). Soil erosion problems on Alfisols in western Nigeria. Effects of rainfall characteristics. *Geoderma*, 16, 389-401.
- [14] Lal, R. and Elliot, W. (1994). Erodibility and erosivity. In Lal, R. (ed), *Soil erosion research methods*. Soil and Water Conservation Society, Ankeny, 181-208.
- [15] Mohammadi, J. (1998). Rain erosivity map providing for Iran using Fournier Index and Kriging method. *Agricultural Science and Natural Resources Journal*, 3&4, 35-44.
- [16] Morgan, R.P.C. (1986). *Soil erosion and conservation*. Logman Group Limited, Hong-London, 210p.
- [17] Onchev, N.G. (1985). Universal index for calculating rainfall erosivity. In: El-Swafify, S.A., Moldenhauer, W.C and Lo, A. (eds), *Soil Erosion and Conservation*, Soil Conservation Society of America, Ankeny, IO, 242-431.
- [18] Renard, k. and Freimund, J.R. (1994). Using monthly precipitation data to estimate the R-factor in the revised USLE. *Journal of Hydrology*, 157, 287-306.
- [19] Salles, C. and Poesen, J. (2000). Rain properties controlling soil splash detachment. *Hydrological Process*, 14, 271-282.
- [20] Salako, F.K., Ghuman, B.S. and Lal, R. (1995). Rainfall erosivity in south-central Nigeria. *Soil Technology*, 7, 279-296.

- [21] Shesh Angosht, S., Alimohammadi, A. and Soltani, M.J. (2005). Geostatistics models evaluation in GIS for erosivity map providing in Latian watershed. *Geographical Information System Conference*, National Cartographic Center of Iran, 113-123.
- [22] Silva, A.M. (2004). Rainfall erosivity map for Brazil. *Catena*, 57, 251-259.
- [23] Taj Ali Pour, Z., Mahdian, M.H., Pazira, A. and Heidarizadeh, M. (2009). Spatial variations investigation of erosivity index in Daryacheh Namak watershed. *11th Soil Science Conference of Iran, Gorgan*, 43-47.
- [24] Wang, G., Gertner, G., Singh, V., Shinkareva, S., Parysow, P. and Anderson, A. (2002). Spatial and temporal prediction and uncertainty of soil loss using the revised universal soil loss equation: a case study of the rainfall-runoff erosivity R factor. *Ecological Modelling*, 153 , 143–155.
- [25] Wischmeier, W.H. and Smith, D.D. (1978). *Predicting rainfall erosion losses: a guide to conservation planning*. USDA, Agriculture Handbook No. 537. Government printing office, Washington, DC, 58p.

Archive of SID